

カムランド実験における $^{7\text{Be}}$ 太陽ニュートリノ観測

東北大学理学研究科ニュートリノセンター
中島 恭平

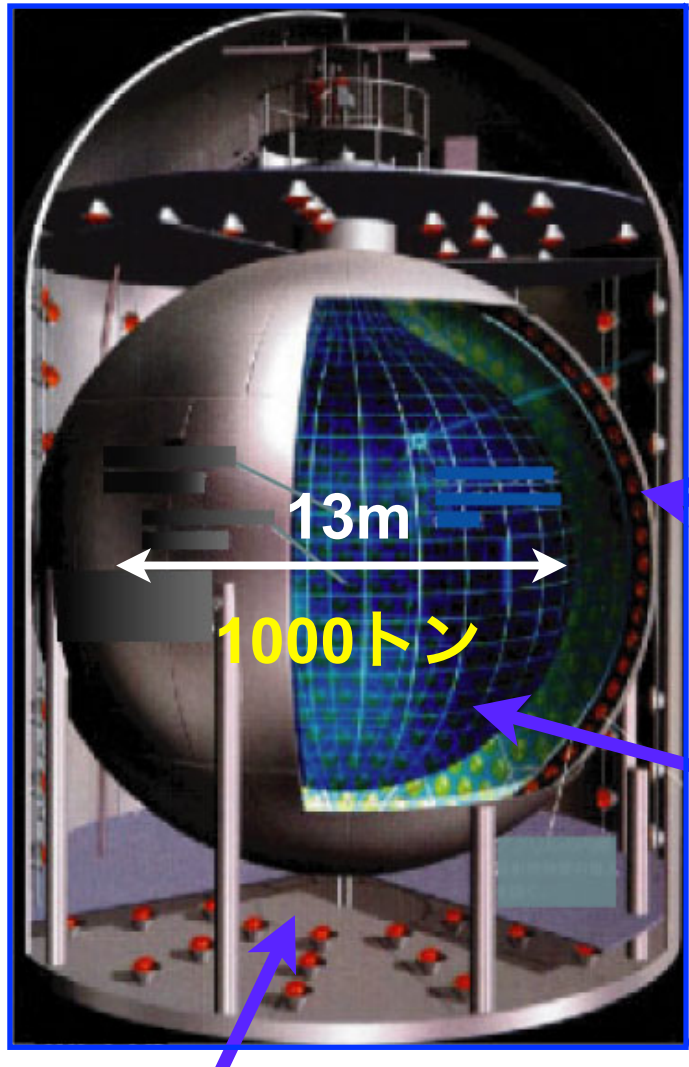
第16回 ICEPPシンポジウム in 白馬、2009年2月15日

もくじ

1. KamLAND実験
2. 太陽ニュートリノ
3. 液体シンチレータの純化
4. バックグラウンド、 ^7Be ニュートリノ解析
5. まとめ

KamLAND

Kamioka Liquid-scintillator Anti-Neutrino Detector



外部検出器
▶ 水3200トン ($\Phi 20\text{m} \times H 20\text{m}$)
▶ 宇宙線veto、外部γ線遮蔽

岐阜県 神岡鉱山
地下1000m
(2700m.w.e)

650億 $\nu/\text{cm}^2/\text{s}$

太陽

600万 $\bar{\nu}/\text{cm}^2/\text{s}$



400万 $\bar{\nu}/\text{cm}^2/\text{s}$

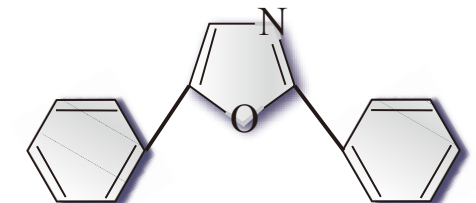
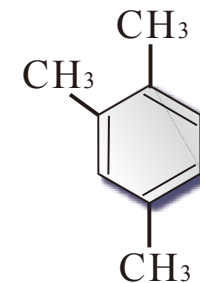
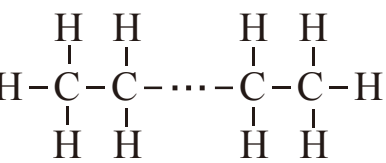
地球

PMT 1879本 (17" 1325本 + 20" 554本)

- ▶ 光電面カバー率 : 34%
- ▶ エネルギー分解能 : $6.9\%/\sqrt{E(\text{MeV})}$

液体シンチレータ ($\rho = 0.78\text{g/cm}^3$)

450 p.e./MeV

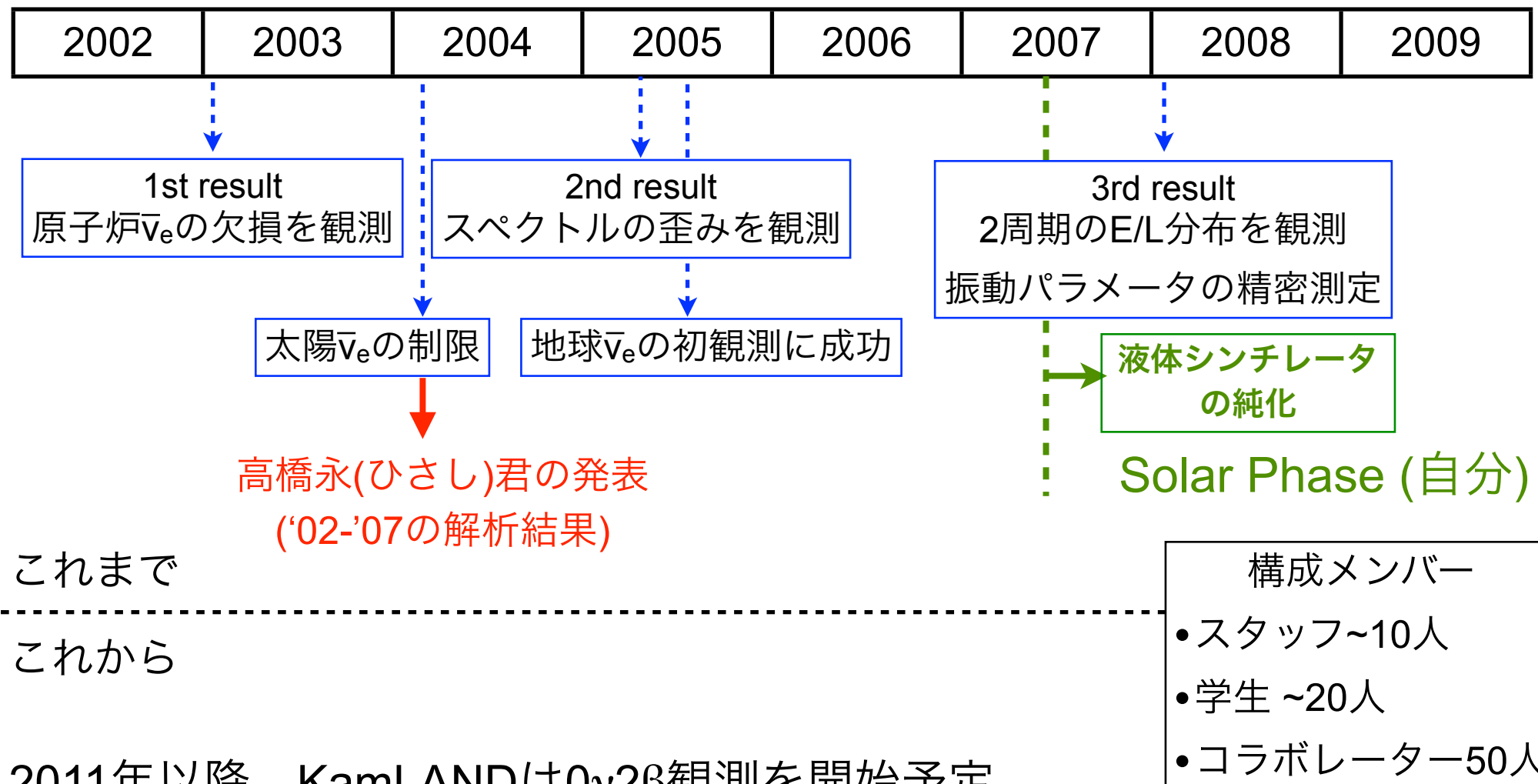


▶ ドデカン (80%)

▶ プソイドクメン (20%)

▶ PPO (1.36g/l)

これまで、これからのKamLAND



2011年以降、KamLANDは0ν2β観測を開始予定。

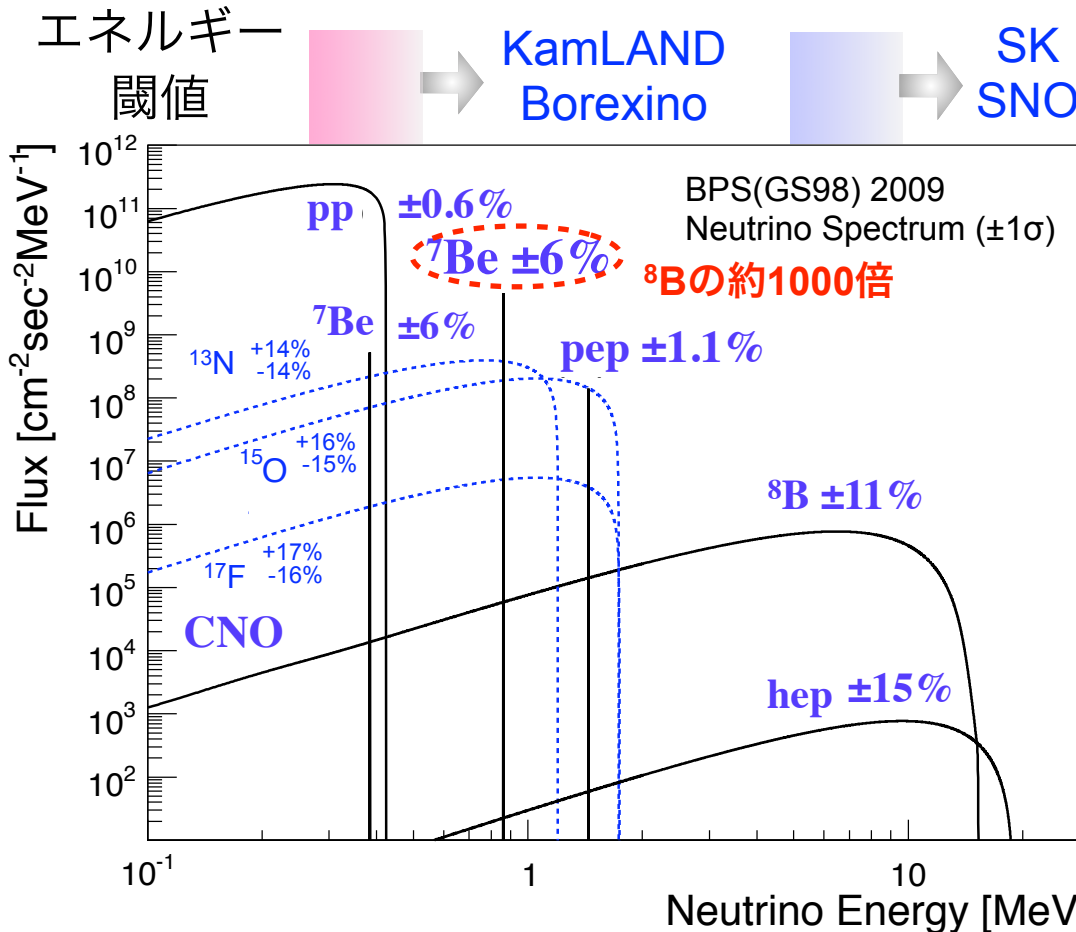
- ▶ 0ν2β実験：渡辺寛子さん
- ▶ 太陽 ν 観測、二重β崩壊実験に向けた電子回路の開発：吉田学立(ひさたか)君

太陽ニュートリノ

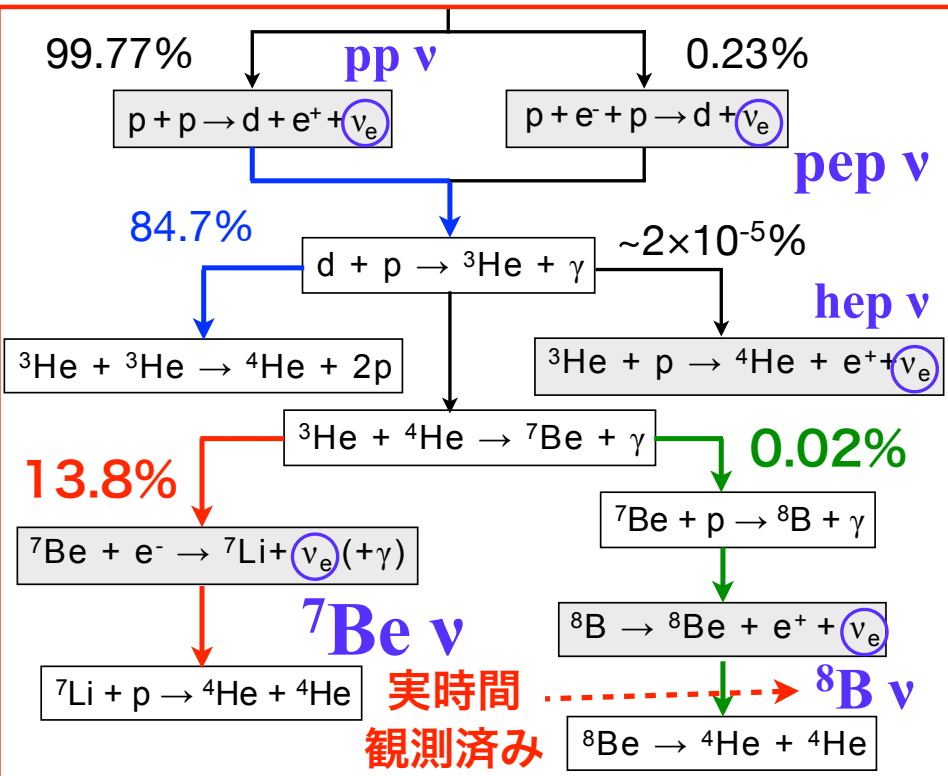
太陽は核融合反応で輝いている。



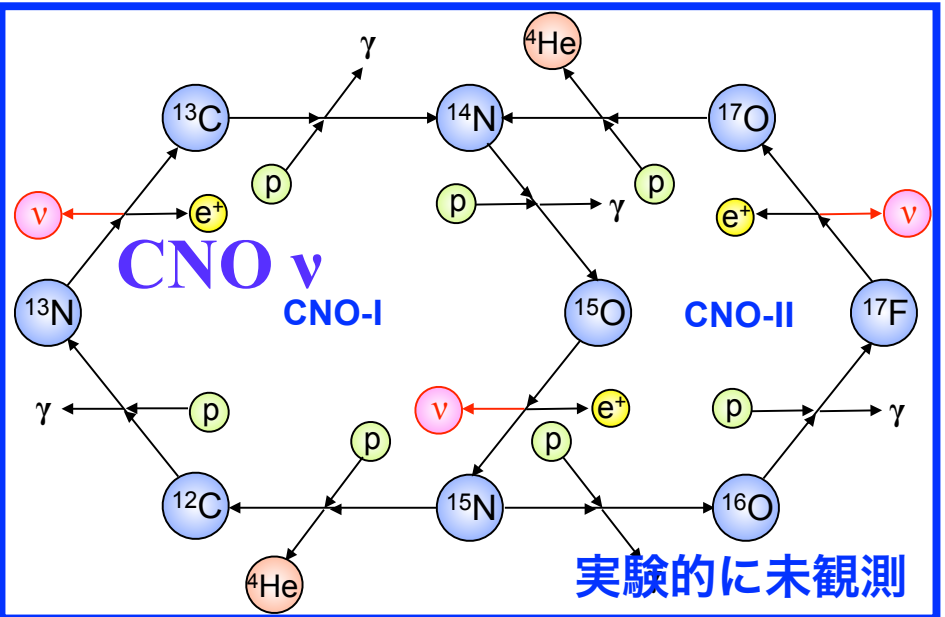
標準太陽モデル(SSM)によるフラックス



pp連鎖反応 (エネルギー比 : 98.5%)



CNOサイクル (エネルギー比 : 1.5%)



太陽ニュートリノ実験の歴史

塩素実験
(1967-1994)

$E_{th} = 814 \text{ keV}$

- pp連鎖, CNOサイクルの区別
- 主に ^8B νを観測
- 予想の約30%のイベント

太陽ニュートリノ問題の発生 (1970)

：他の実験で確認へ

↓ 水チェレンコフ

Kamiokande
(1983-1996)

$E_{th} = 7 \text{ MeV}$

- νの飛来方向 → 太陽νの存在
- ^8B νの初リアルタイム観測
- 予想の約40%のイベント
→ 塩素実験の結果を追証

^8B νは不定性大, pp νは不定性小
pp ν測定へ

ガリウム実験
(1990-)

$E_{th} = 233 \text{ keV}$

- 主にpp νを観測
- 予想の約50%のイベント

^7Be νが0の可能性もある。
更に高精度の実験へ

放射化学実験

閾値以上の信号を
積分値観測

Super-Kamiokande
(1996-)

$E_{th} = 5 \text{ MeV}$

実時間観測

- ^8B νの精密測定

SNO
(1999-)

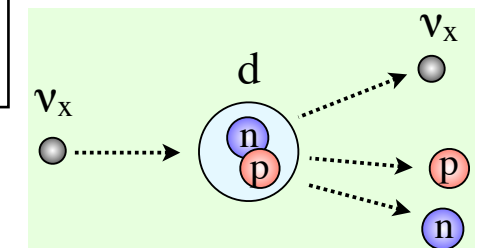
- CC, NC, ES反応を観測
- νのフレーバ変化を観測

KamLANDでニュートリノ

振動を観測 (2002)

太陽ニュートリノ問題の終焉

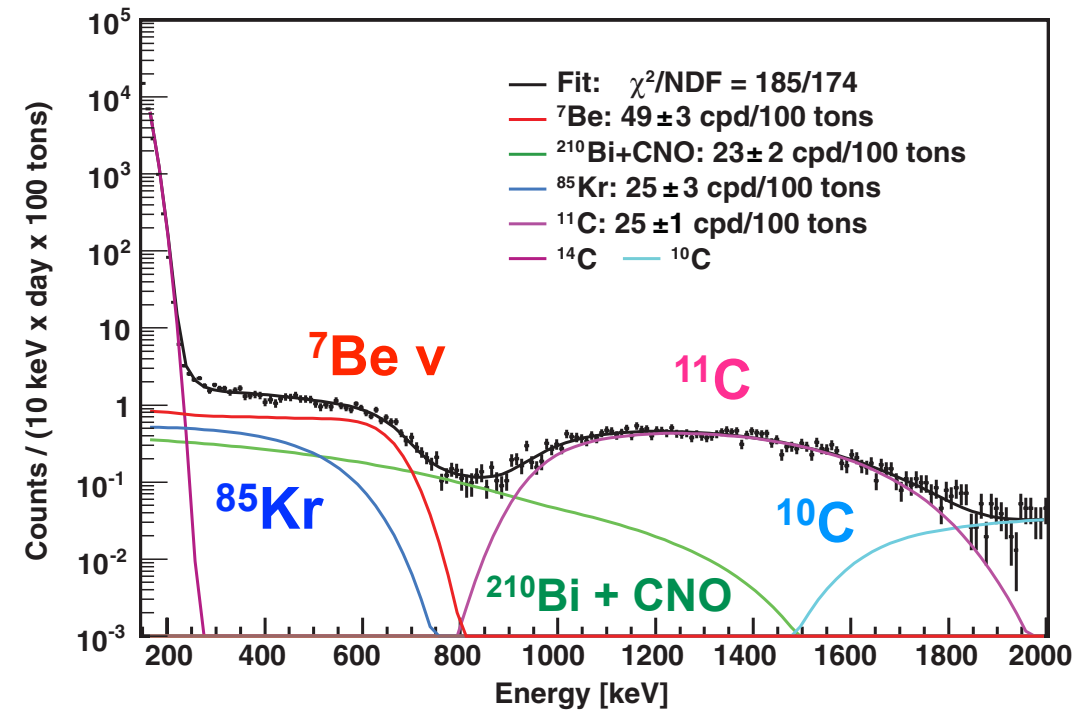
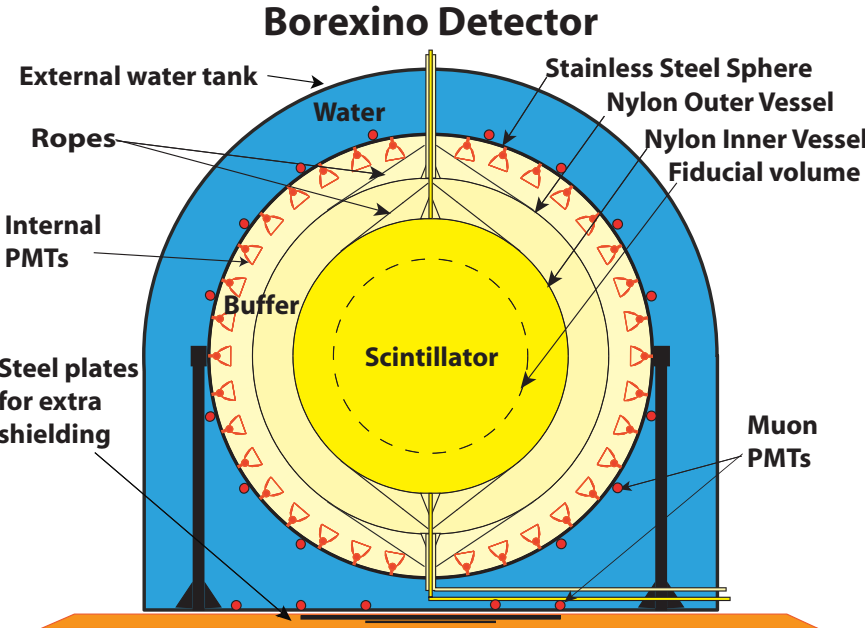
中性カレント(NC)



→ 当初の目的
太陽内部の検証へ

Borexino実験

- 2007年、 ^7Be ニュートリノの実時間観測に成功
- KamLANDと同じく、液体シンチレータ型検出器
- Borexino : 300 ton \Leftrightarrow KamLAND : 1 kton



$^7\text{Be} \nu = 490 \pm 30(\text{stat. } 6\%) \pm 40(\text{syst. } 8\%) \text{ evt/d/kt}$ (2008)
(有効質量 78.5 ton, 192日の観測結果)

大有効質量を用いて、KamLANDでも $^7\text{Be} \nu$ 観測を目指す。

研究動機のまとめ

Q. ${}^7\text{Be}$ ニュートリノ観測の意義は？

1. 標準太陽モデルの精密検証ができる。

- ▶ ${}^7\text{Be} \nu$ はpp連鎖の主要な反応から生成
- ▶ ${}^7\text{Be} \nu$ の理論誤差 $6\% \Leftrightarrow {}^8\text{B} \nu 11\%$
- ▶ 高統計観測が可能($\sim 500 \text{ evt/d/kt}$)

2. MSW効果の確認。

$\Leftrightarrow {}^7\text{Be} \nu$: 真空振動(生存確率 ~ 0.54)

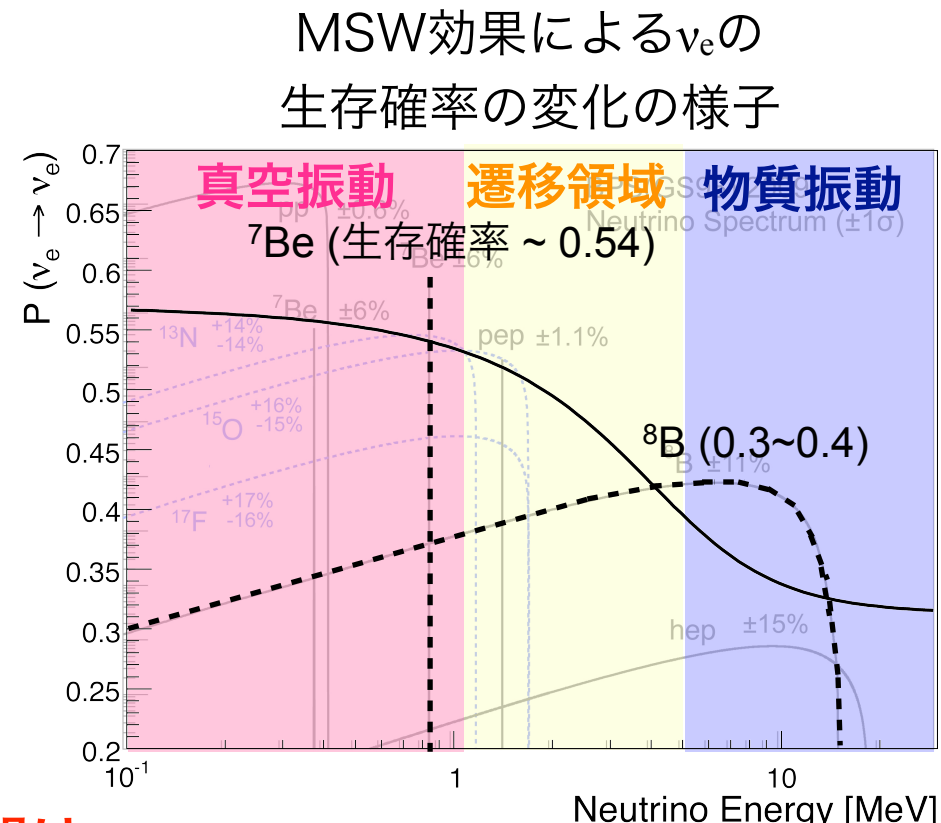
→ ${}^8\text{B} \nu$: 物質振動(生存確率 ~ 0.3)

3. 低エネルギー太陽ニュートリノ観測の幕開け。

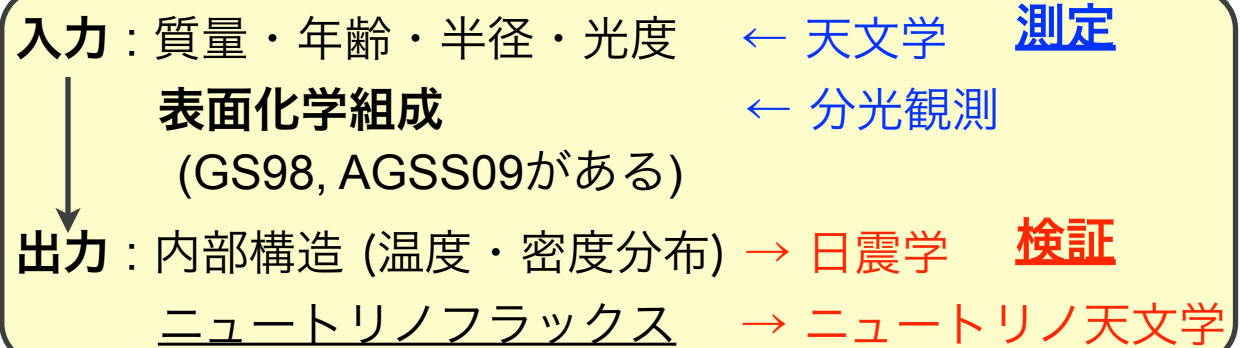
${}^7\text{Be} \nu$ 観測は、将来のCNO, pep ν へ向けた第一歩

→ 太陽組成問題の解決へ

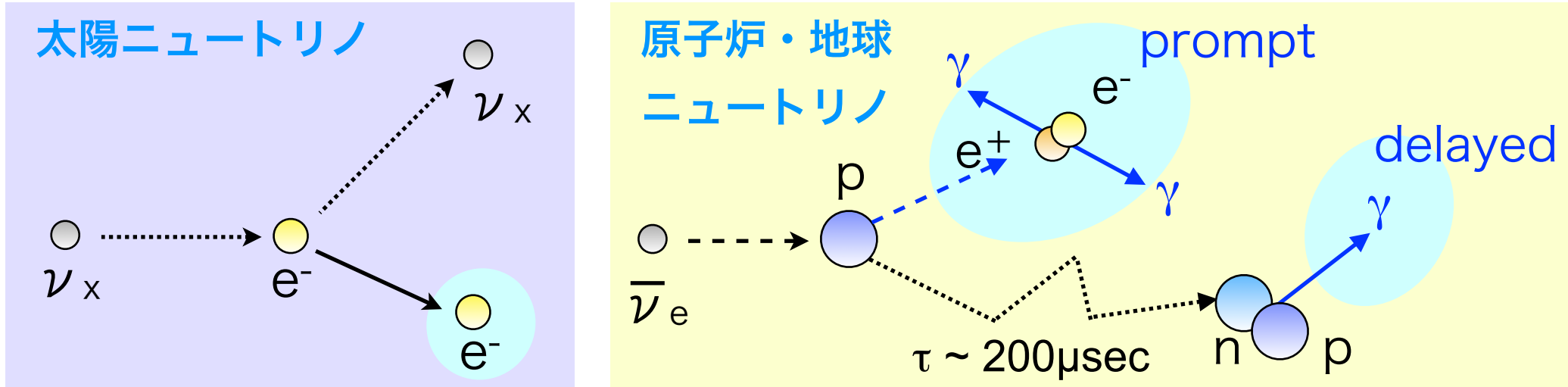
- 低金属モデル(AGSS09)は日震学と矛盾
- ${}^7\text{Be} \nu : 9\%$ 、CNO $\nu : 30\%$ の差



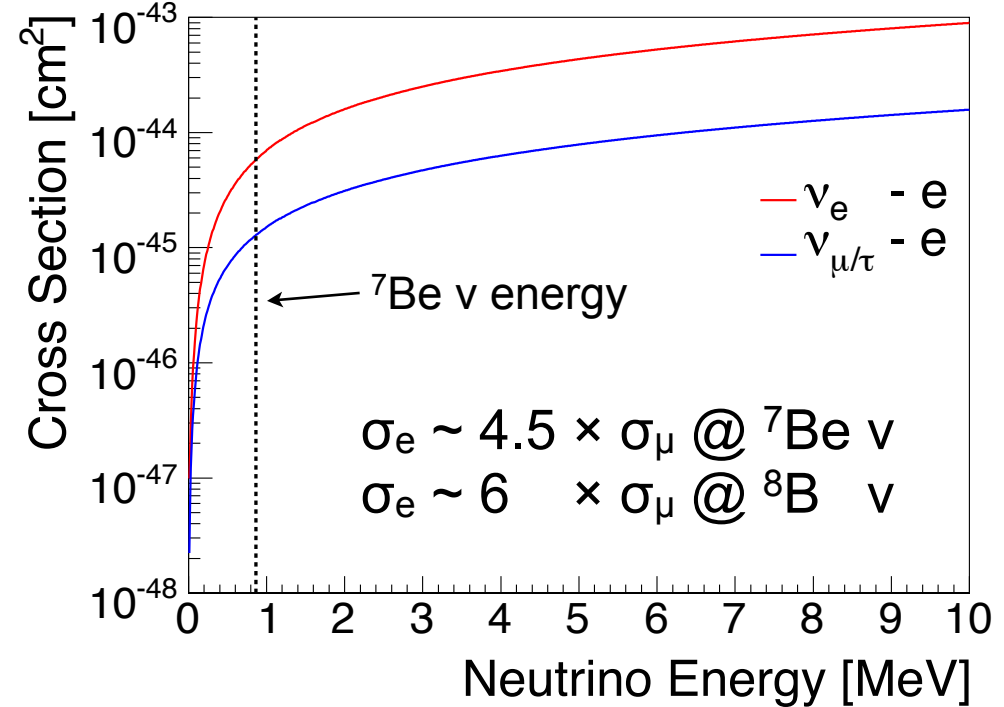
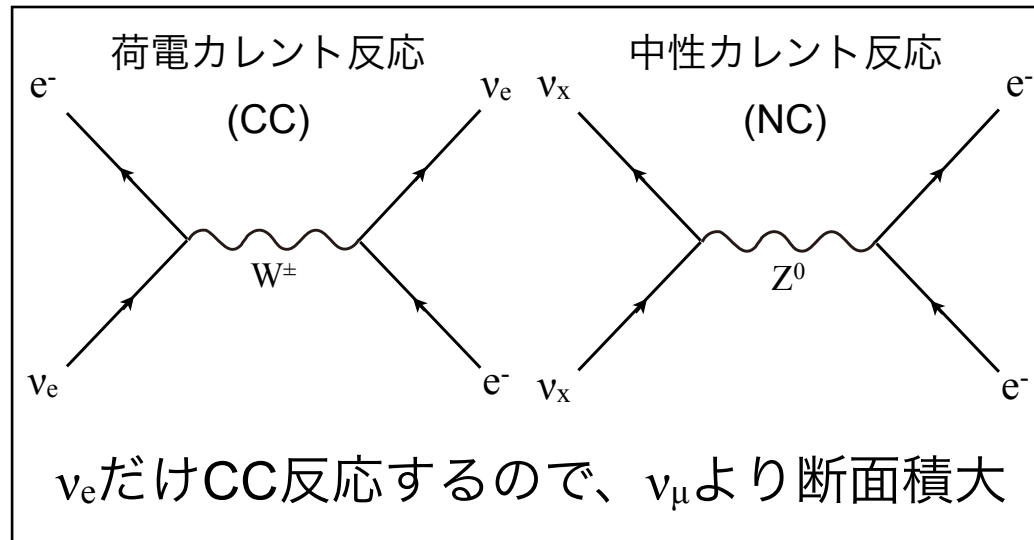
標準太陽モデルについて



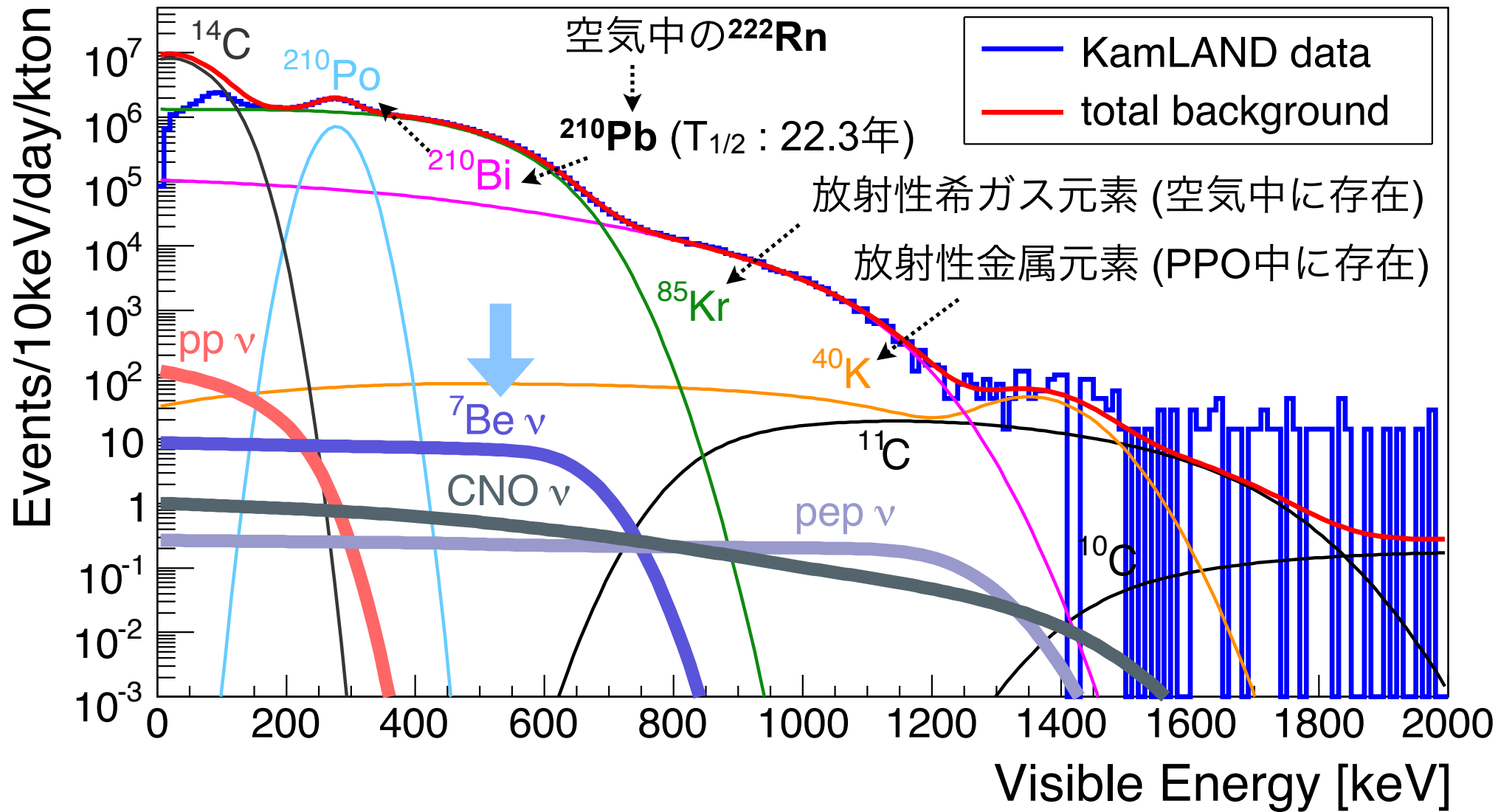
太陽ニュートリノの検出原理



- 反跳電子を観測
- シングルイベントなので、BGの影響大



純化前のスペクトル



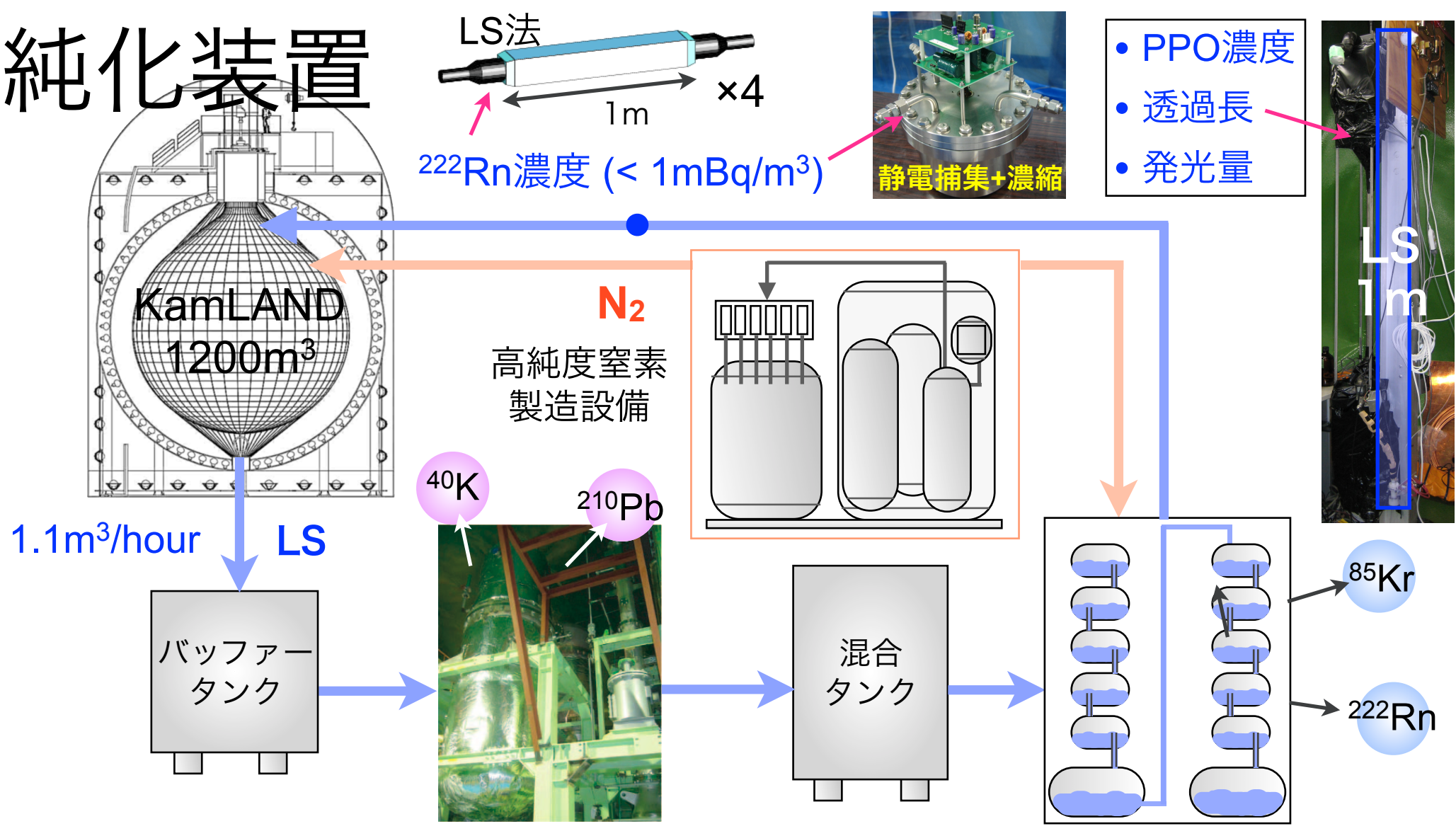
$^{210}\text{Pb}, ^{40}\text{K}$ (金属) → 液体シンチレータの蒸留により除去

$^{222}\text{Rn}, ^{85}\text{Kr}$ (希ガス) → 高純度窒素バージにより除去

^{11}C (宇宙線μ起因) → 新エレクトロニクス導入により、最大95%除去

目標除去率
 ^{210}Pb : 4桁
 ^{85}Kr : 5桁

純化装置



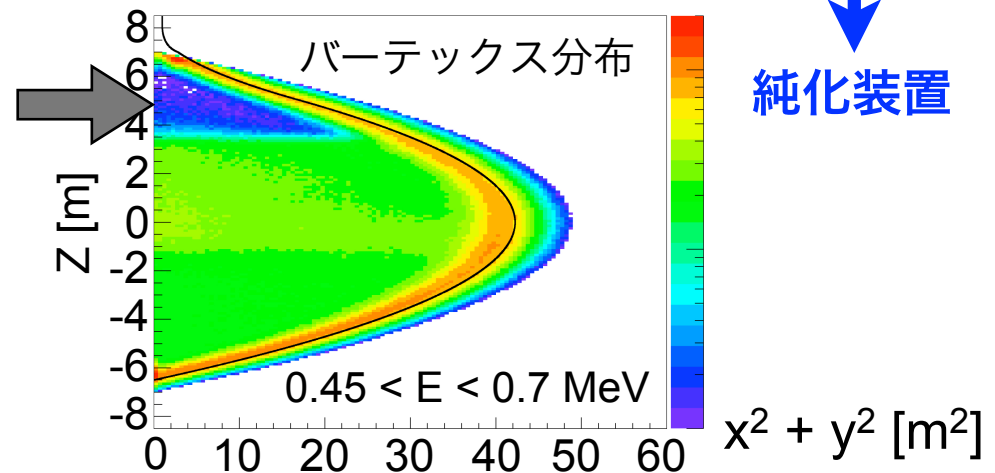
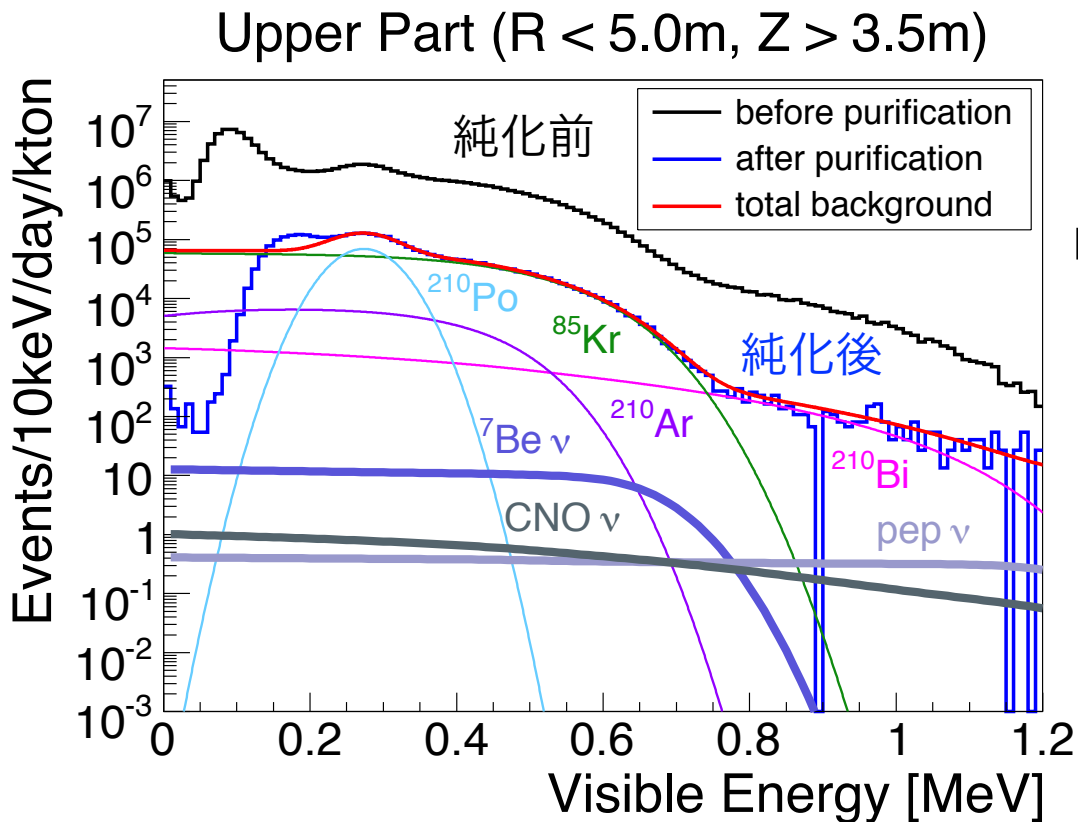
種類	圧力 [kPa]	温度 [°C]
PC塔	2.0 ($\pm 0.1\%$)	62 ($\pm 3\%$)
NP塔	2.0 ($\pm 0.2\%$)	97 ($\pm 1\%$)
PPO塔	0.60 ($\pm 0.5\%$)	175 ($\pm 1\%$)

プソイドクメン → ドデカン → PPO)
沸点 169°C 216°C 360°C

KamLAND全体の液を置換するのに約2ヶ月

液体シンチレータの純化(第1回目)

- ▶ 第1回目純化: 2007/5/12 - 2007/8/1
- ▶ 純化体積: 1699 m³ (1.4 × KamLAND)



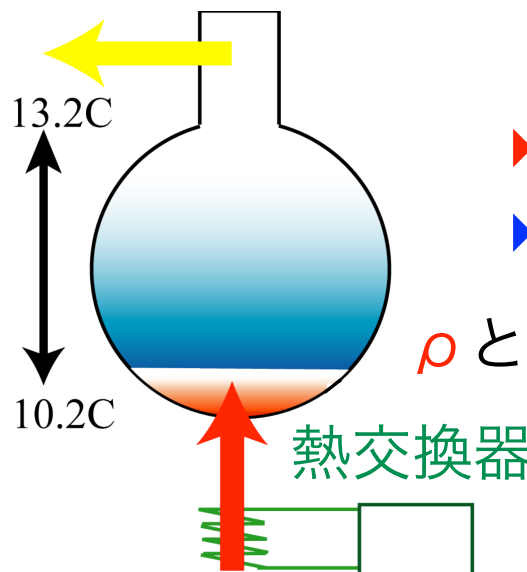
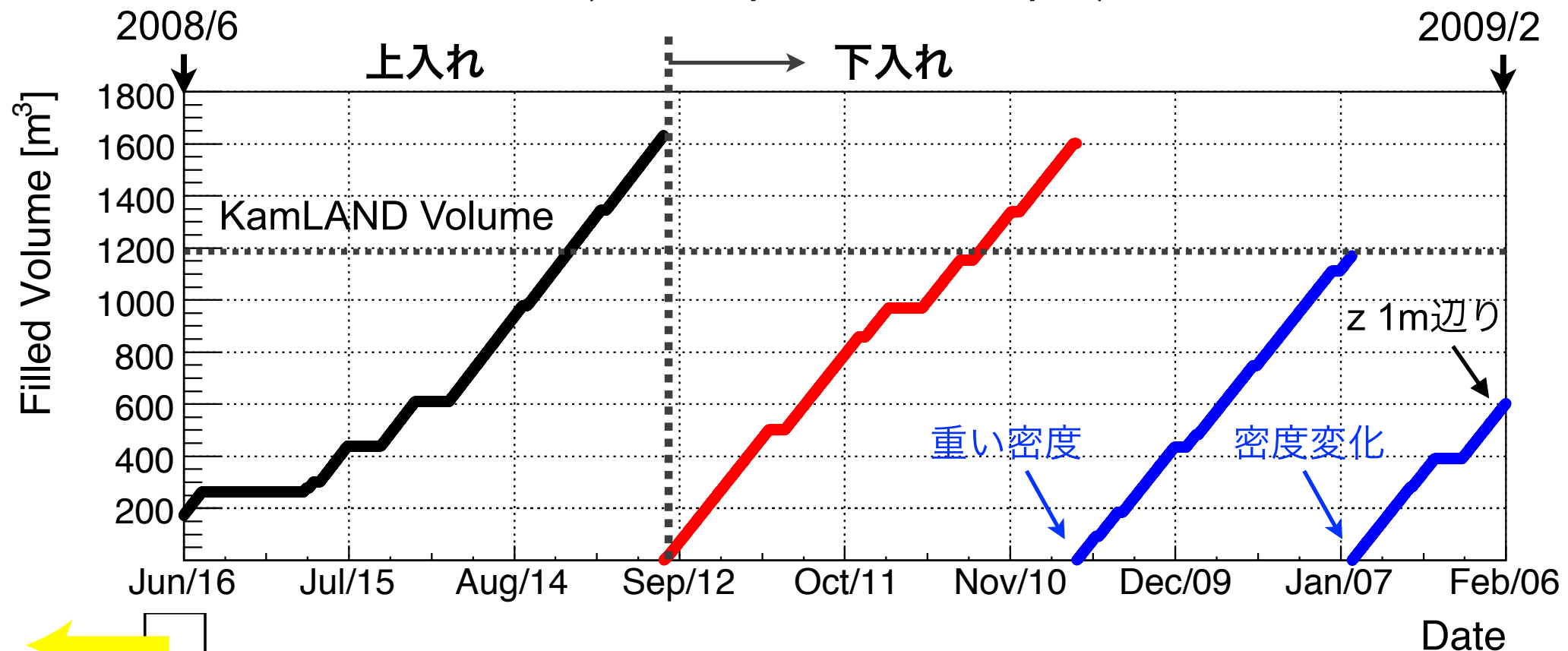
途中で液の混合が起きたが、最終的に
密度差を与える事で分離に成功。

核種	不純物量	除去率	目標
²¹⁰ Bi	$0.2 \pm 0.1 \text{ mBq/m}^3$	$(5 \pm 3) \times 10^{-3}$	10^{-4}
⁸⁵ Kr	$14^{+1}_{-4} \text{ mBq/m}^3$	$(3 \pm 1) \times 10^{-2}$	10^{-5}

1回の純化で2~3桁落ち
(目標²¹⁰Bi 4桁、⁸⁵Kr 5桁)
→ 複数回蒸留で⁷Be観測へ

液体シンチレータの純化 (第2回目)

(2008/6 - 2009/2)



- ▶ 軽い液による全体の一様化、バルーン重量の調整
- ▶ 重い液によって純化液の境界を形成

ρ と T を調整

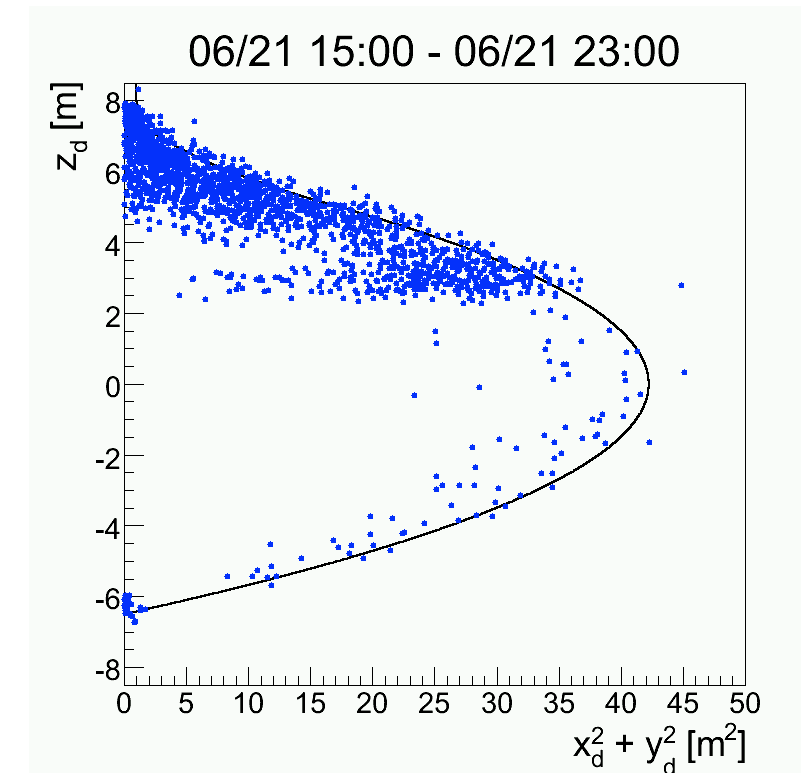
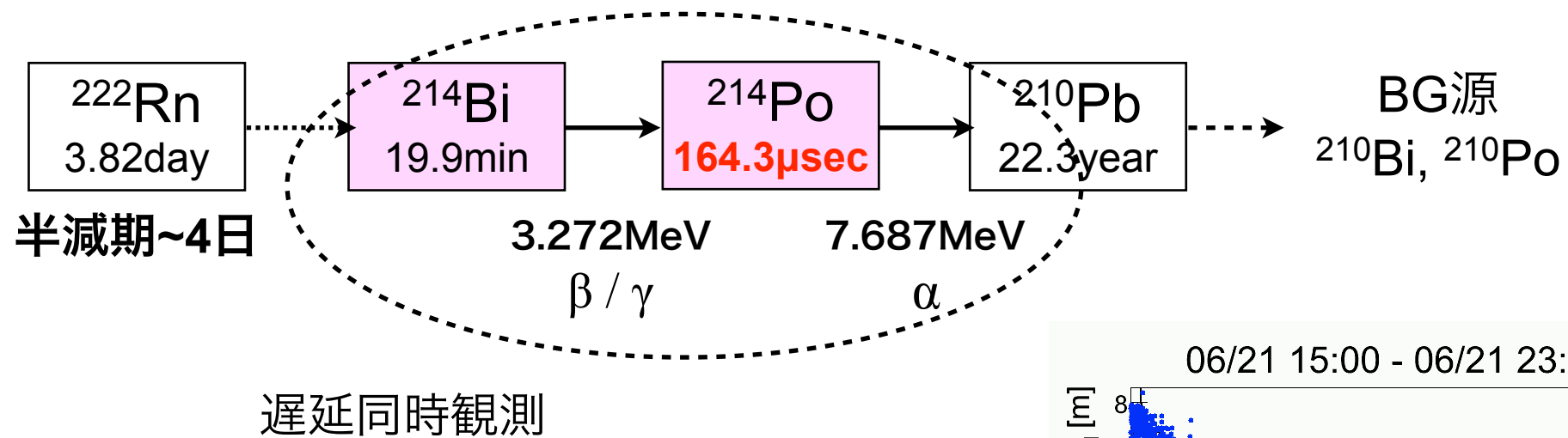
熱交換器

総純化液量 : 4855m^3 (KamLANDの4.1倍)

実際には2~3回全体を純化

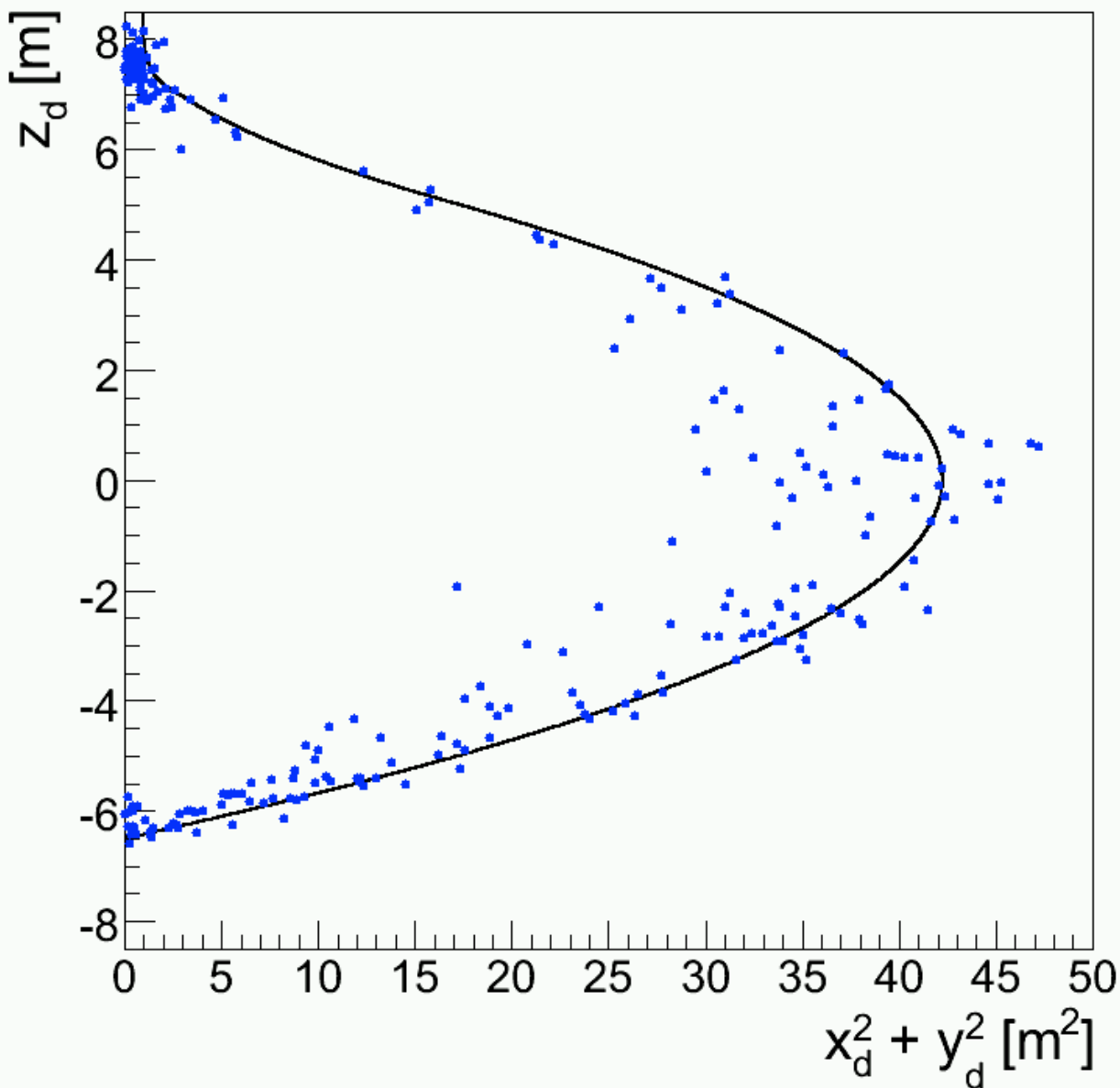
ラドンイベントは純化液のトレーサーとして使える。

(若干の漏れや、配管からの染み出しで入ってくる。)



純化の様子 (^{222}Rn)

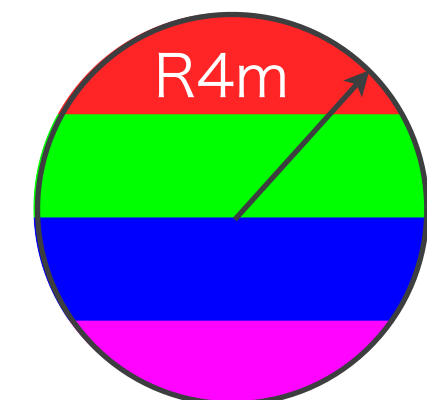
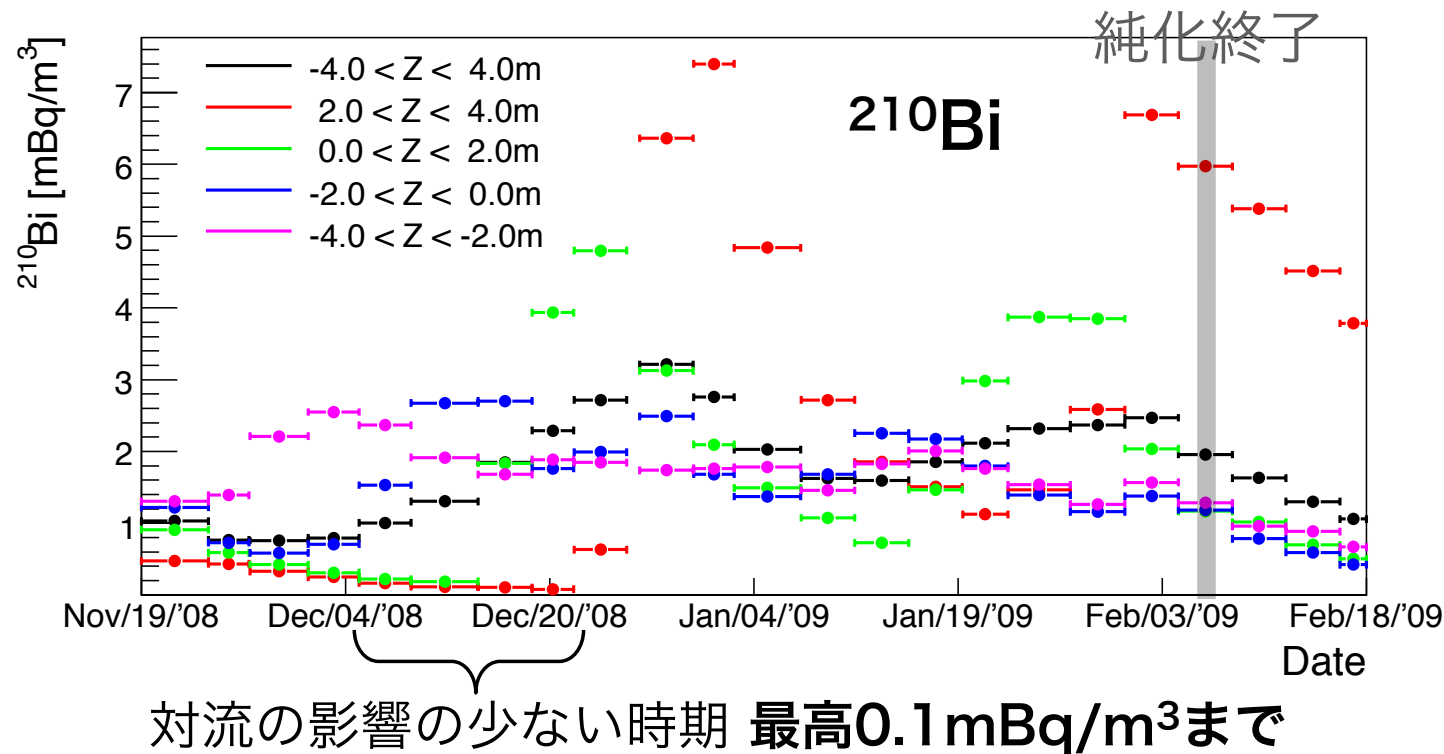
06/16 07:00 - 06/16 15:00



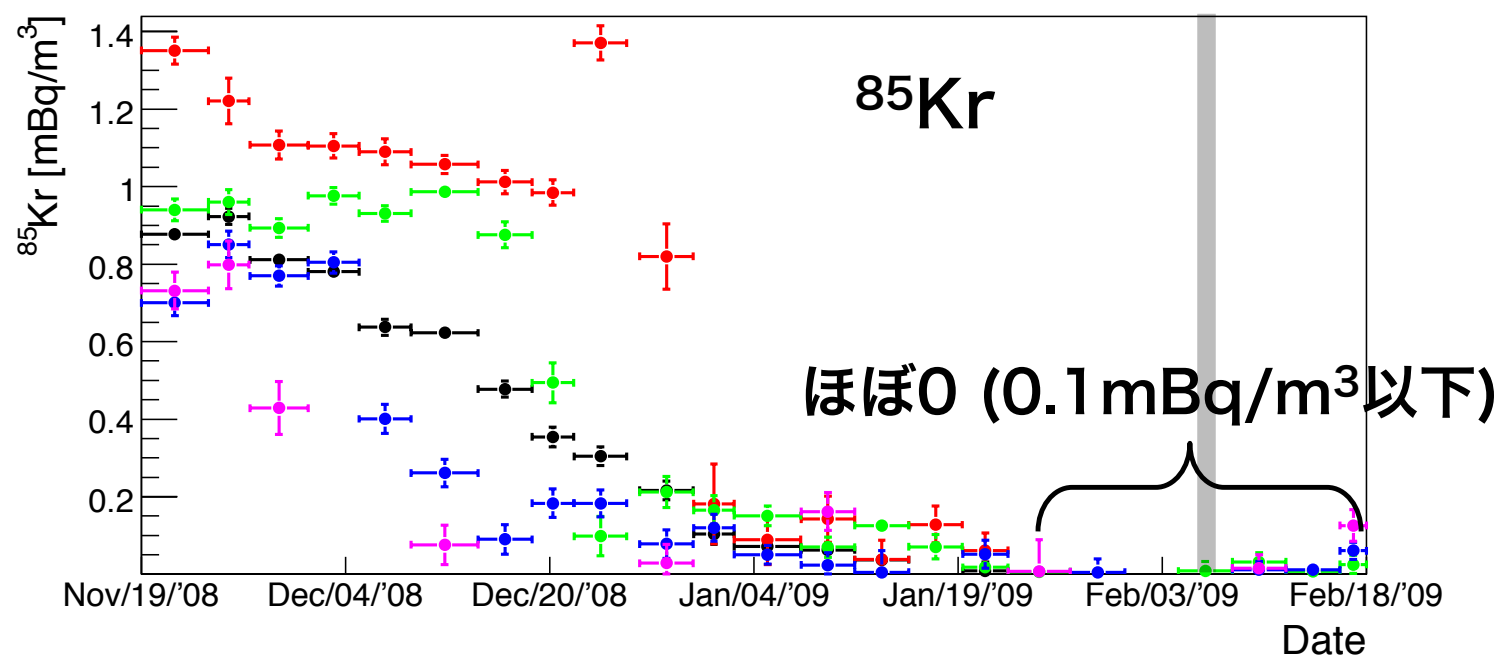
- 6月 - 9月
上入れ (境界保持)
- 9月 - 11月
下入れ (かき混ぜ)
- 11月 - 2月
下入れ (境界保持)

注 : ^{222}Rn の半減期は約4日

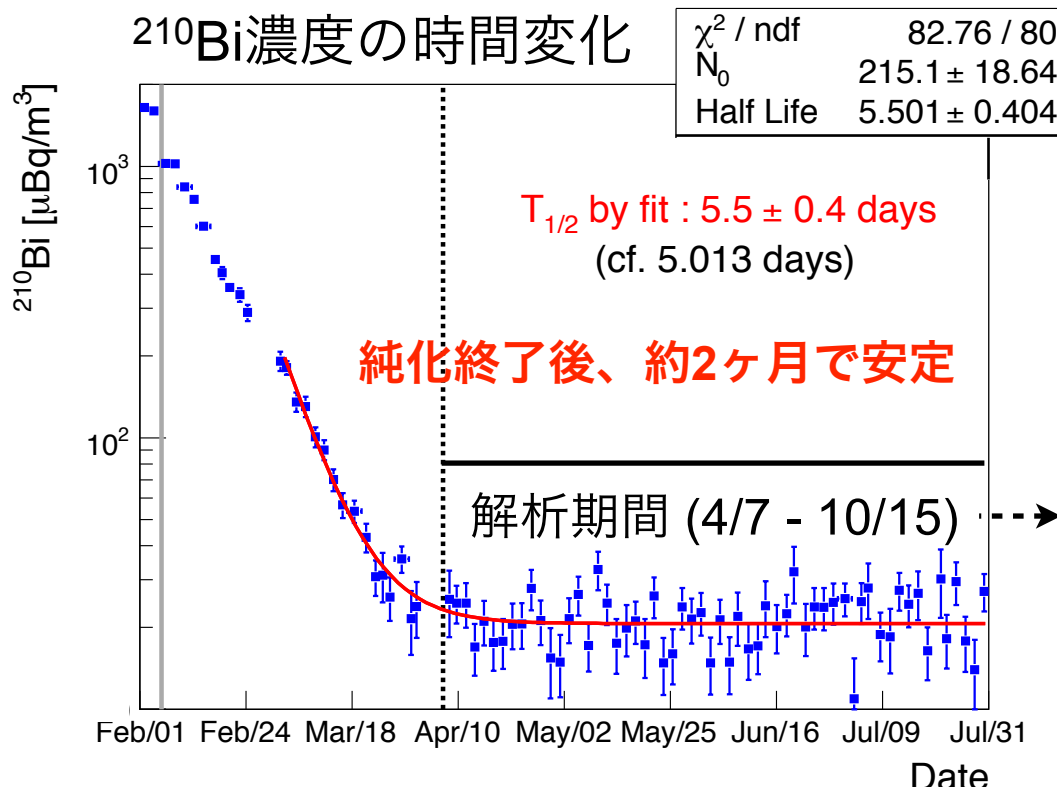
210Bi / 85Kr濃度の時間変化



- 純化液が到達すると ^{210}Bi 濃度上昇
- 現在 ^{210}Bi は崩壊中



純化後のバックグラウンド



Live time : 161.2 days

(c.f. Borexino 192 day)

$^{210}\text{Bi}/^{210}\text{Po}$ の放射平衡
が崩れる。(10倍以上)

CNO νが困難に。

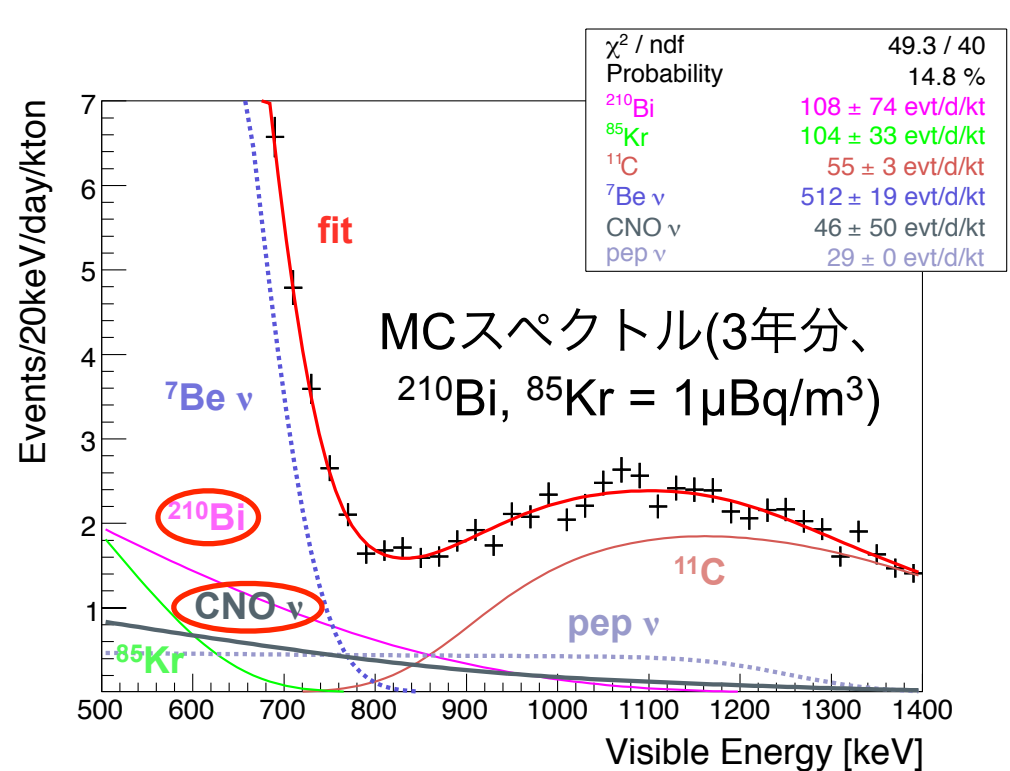
→
 ^{210}Po 濃度から
 ^{210}Bi 濃度が
制限出来ない。

- ^{210}Bi 除去効率の低下

2回目の除去率は
1回目の1/10程度。
→ 純化の限界？

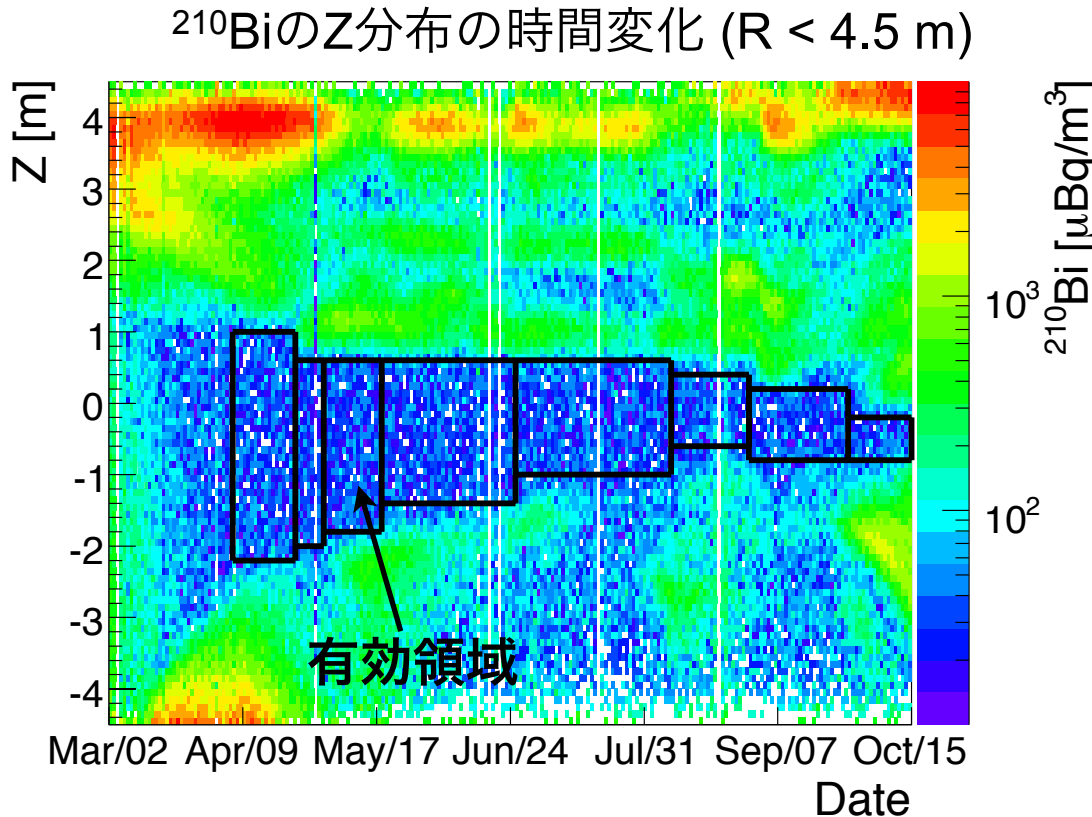
- 発光量の低下

→ エネルギー分解能の低下
- 1回目~6%, 2回目~15%



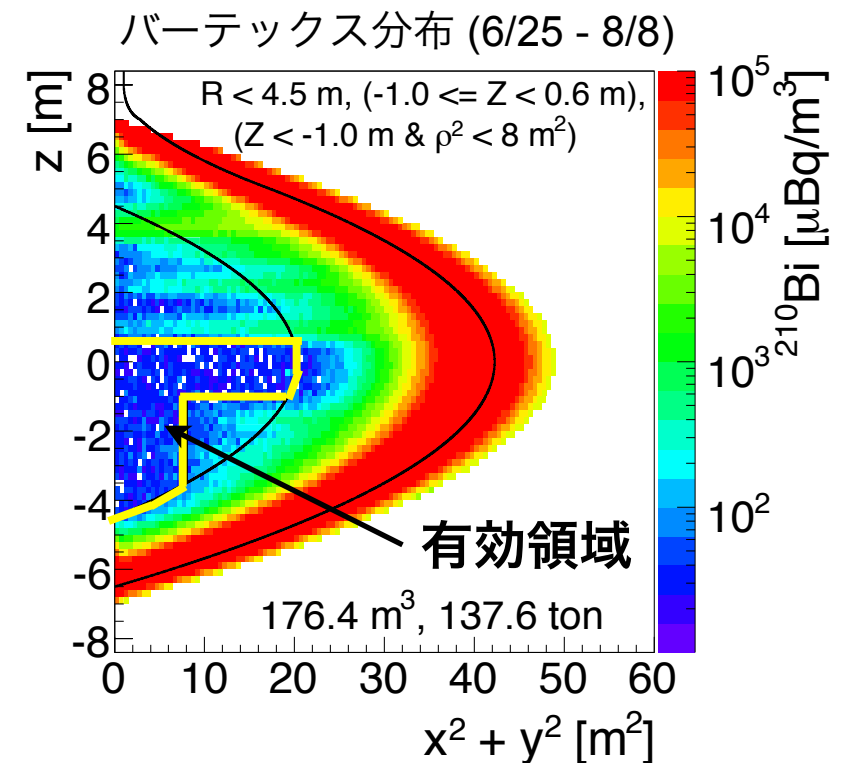
有効領域の選び方

- 対流の影響で、 ^{210}Bi の少ない領域が変化。
→ 低BG領域をZと ρ^2 cutで選択。
- 環境 γ 線の影響の少ない、 $R < 4.5 \text{ m}$ を選択。



Exposure : 17.78 kton*day
(平均110.3 ton)

cf. Borexino
15.1 kton*day



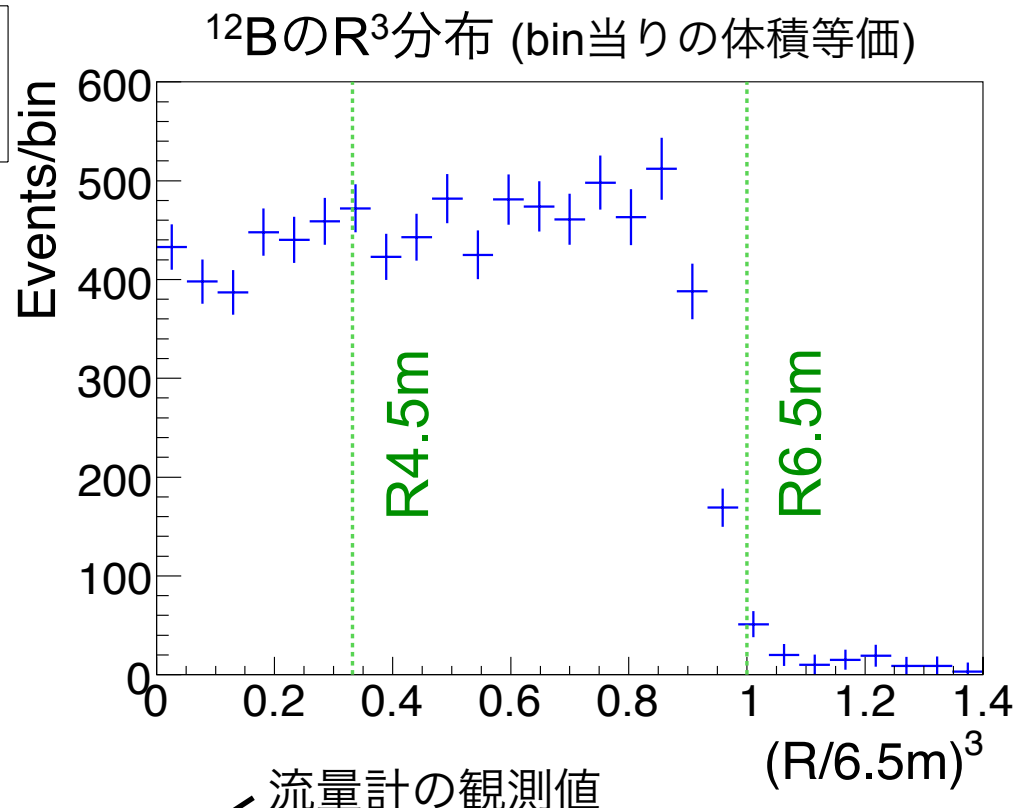
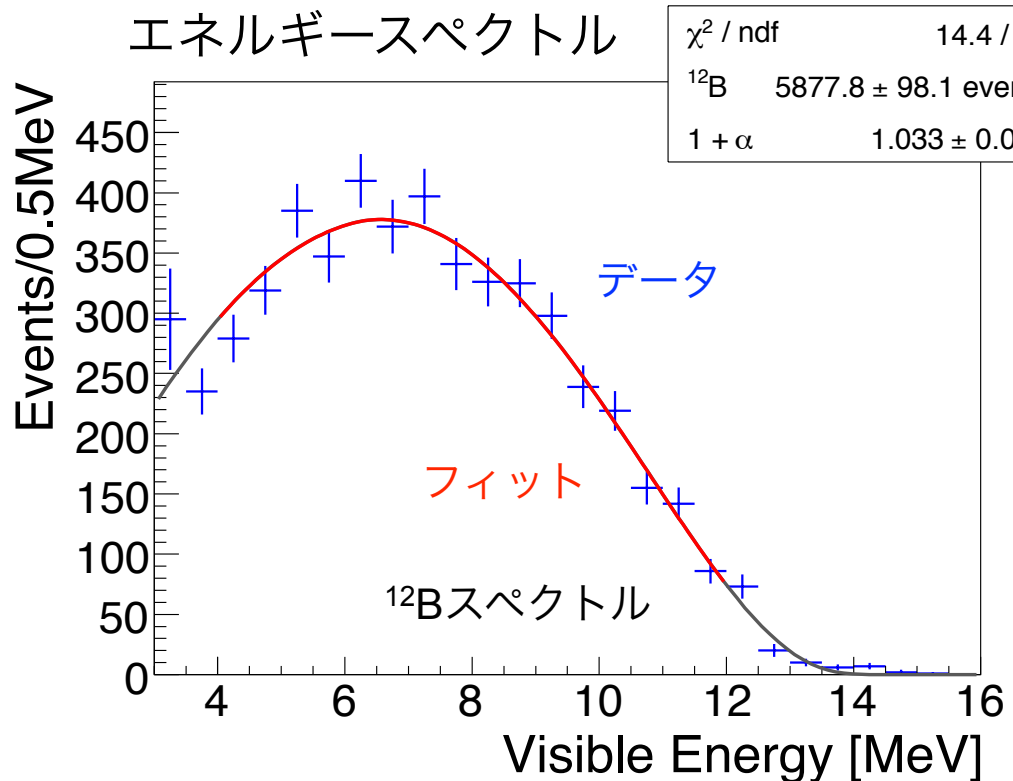
対流の原因

- 液の密度が高さによってわずかに違う。
- 液の温度分布(下部~10°C、上部~14°C)
- 外水槽(10~24°C)との温度差

有効体積の不定性

宇宙線ミューオン起源で、検出器内に一様に生成される

^{12}B ($Q_\beta = 13.4 \text{ MeV}$, $T_{1/2} = 20.2 \text{ ms}$, $\sim 60 \text{ evt/d/kt}$)を利用する。



体積比 : $V_{\text{fiducial}} / V_{\text{total}} = 141.4 \text{ m}^3 / (1171 \pm 25 \text{ m}^3) = 0.1207 \pm 2.1\% (\text{syst.})$

^{12}B 比 : $N_{\text{fiducial}} / N_{\text{total}} = 0.1195 \pm 4.3\% (\text{stat.}) \pm 2.7\% (\text{syst.})$

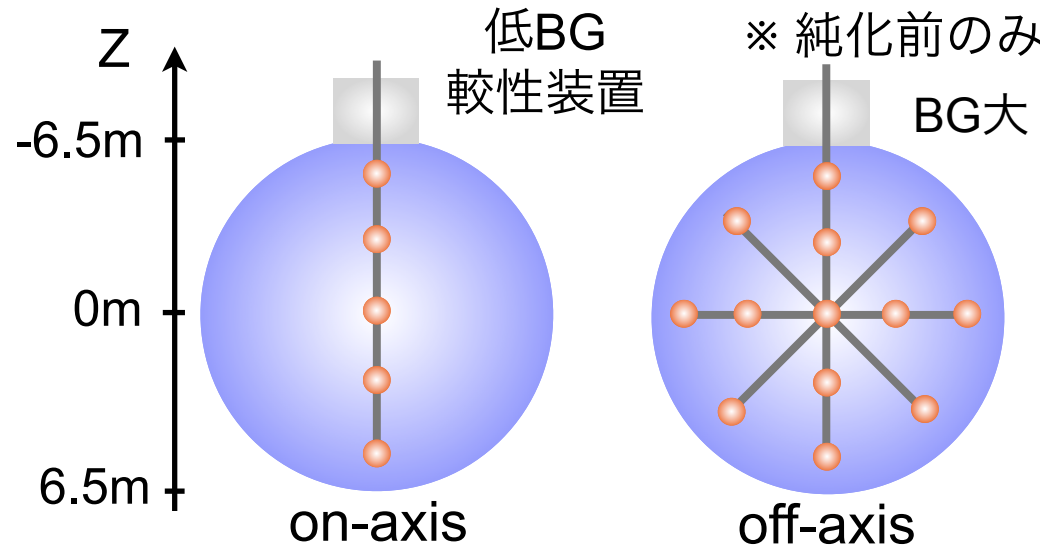
→ 差 : $(1.0\% + 4.3\%) \pm 2.1\% \pm 2.7\% = 6.3\%$

vertexのエネルギーバイアス、thresholdの効果

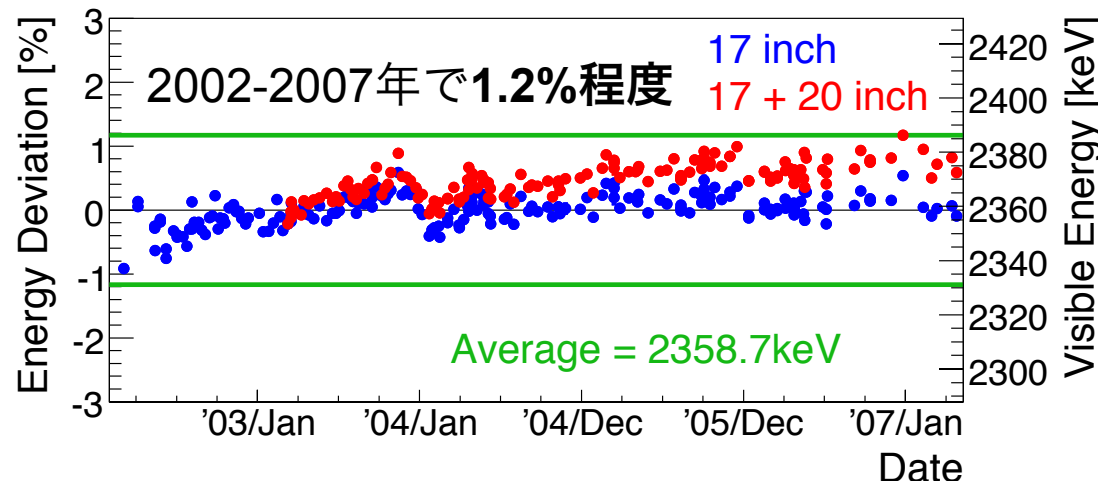
エネルギー較正

1. 線源 (^{60}Co , ^{68}Ge , ^{137}Cs , ^{203}Hg)

- Z方向の補正 : -6m～+6mまで、0.5m刻み
- 時間変化 : $^{60}\text{Co}/^{68}\text{Ge}$ で確認



^{60}Co による純化前の長期安定性 (2002 - 2007)

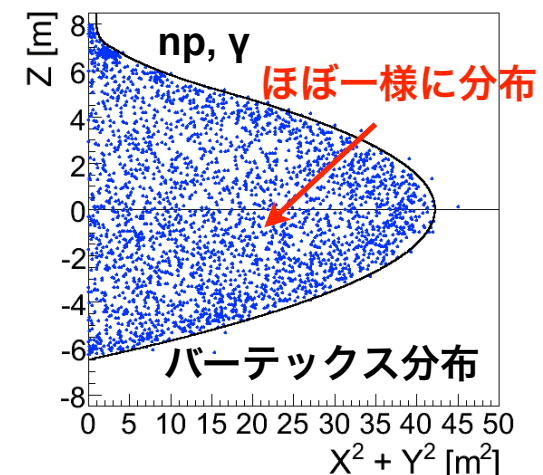


2. $n(p,d)\gamma$ (宇宙線μ起因)

- ~3000 evt/day/kton程度。
- X^2+Y^2 方向の補正
- 時間変化の補正

線源E (keV)

type	RealE	VisE
^{203}Hg	279	214
^{137}Cs	662	57
^{68}Ge	1022	860
^{60}Co	2506	2347
np, γ	2225	2211



長期にわたってエネルギーは安定

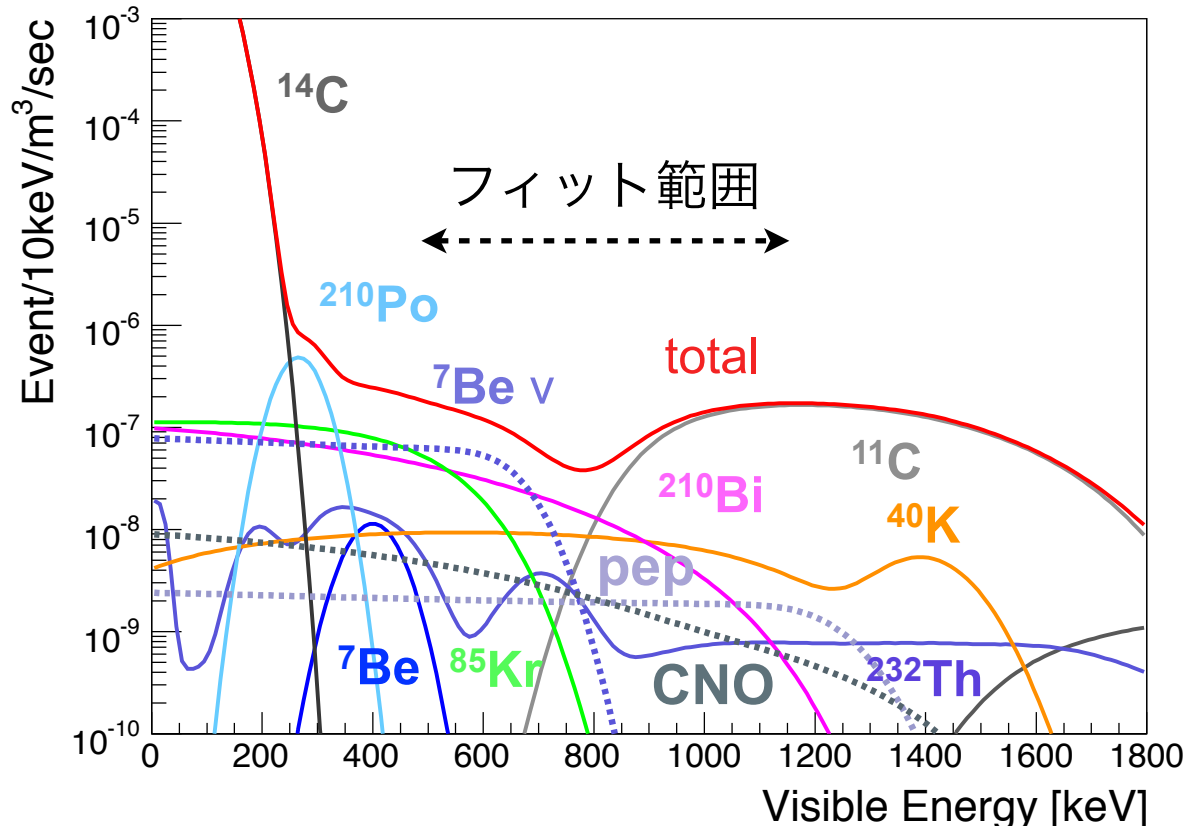
純化後の解析結果

- 位置依存性 < 1.2%
- 時間変化 < 0.8%
- エネルギー分解能 : $6.9\%/\sqrt{E}$

^7Be ニュートリノ解析の方針

- フィットのフリー parameter : $^7\text{Be}\nu$, ^{210}Bi , ^{85}Kr , ^{11}C
- 他のバックグラウンド
 ^{238}U 系列, ^{232}Th 系列, ^{40}K , 原子核破碎反応(^7Be)は別個に求める。

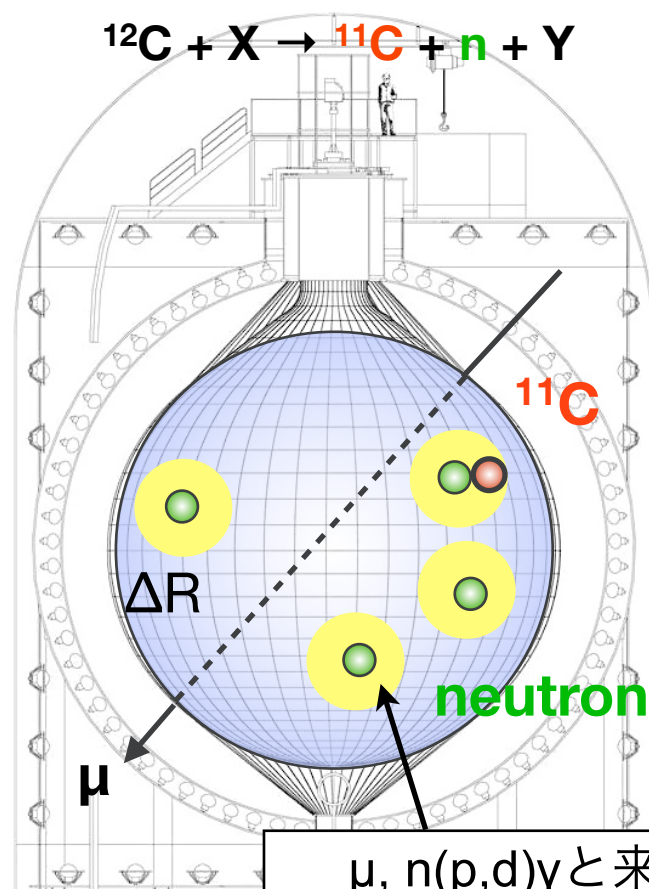
MCスペクトル(^{210}Pb 4桁減、 ^{85}Kr 5桁減、 ^{40}K 2桁減の場合)



- ^{238}U : $^{214}\text{Bi} - ^{214}\text{Po}$
($T_{1/2}$: 164 μsec) の遅延同時観測
- ^{232}Th : $^{212}\text{Bi} - ^{212}\text{Bi}$
($T_{1/2}$: 299 nsec) の遅延同時観測
- ^{40}K : 1.4 MeV のピークから

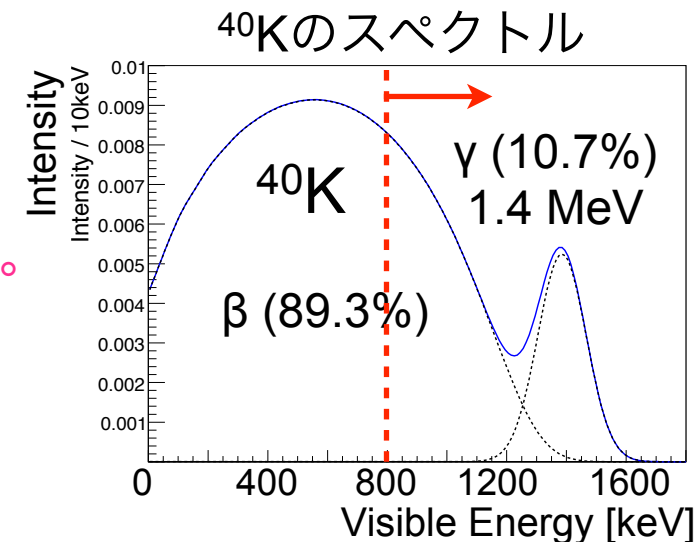
主な系統誤差

- エネルギー : 10.6%
- ^{40}K : 7.5%
- 有効体積 : 6.3%
- total : 15.2%

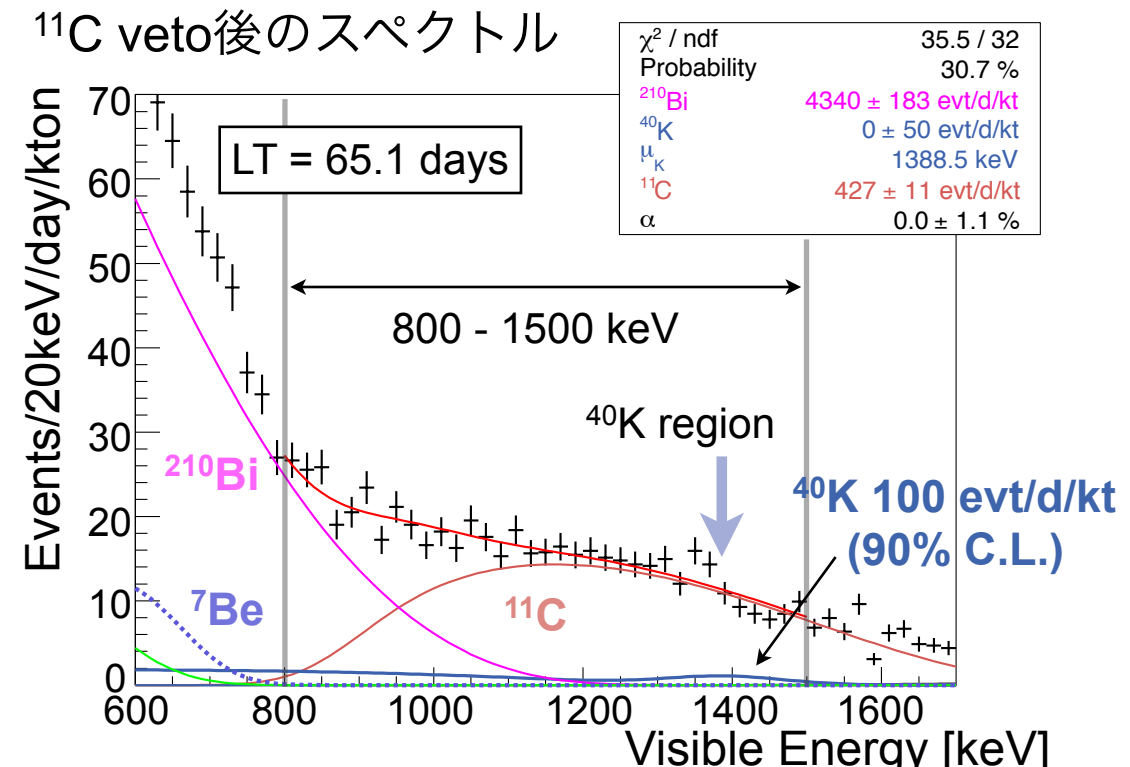


40K解析

800keV以上で
 ^{40}K 濃度をチェック。
 ^{11}C がBGになる。



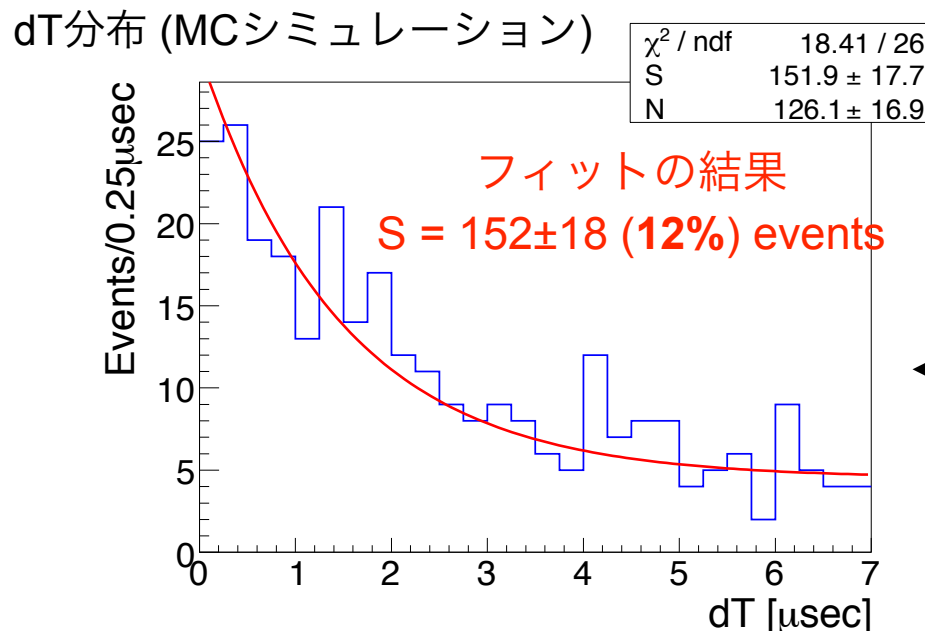
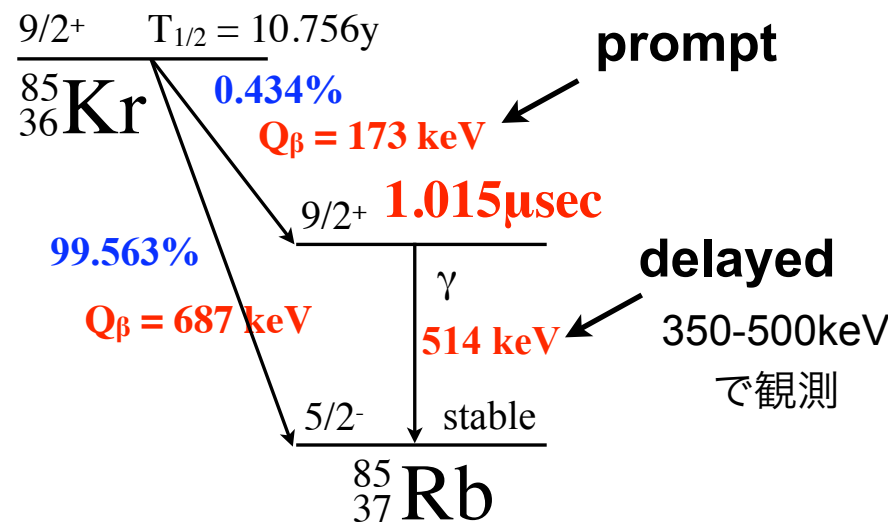
^{11}C veto後のスペクトル



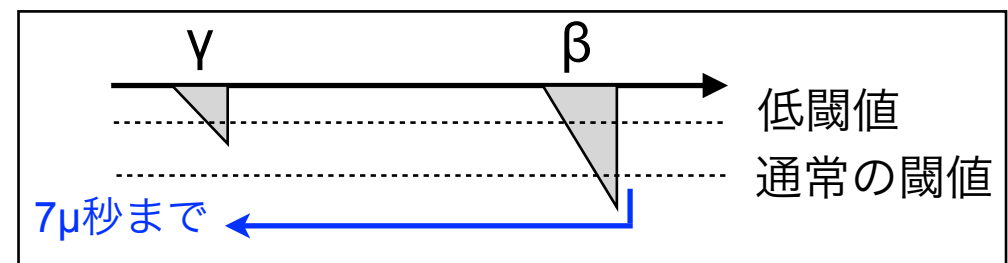
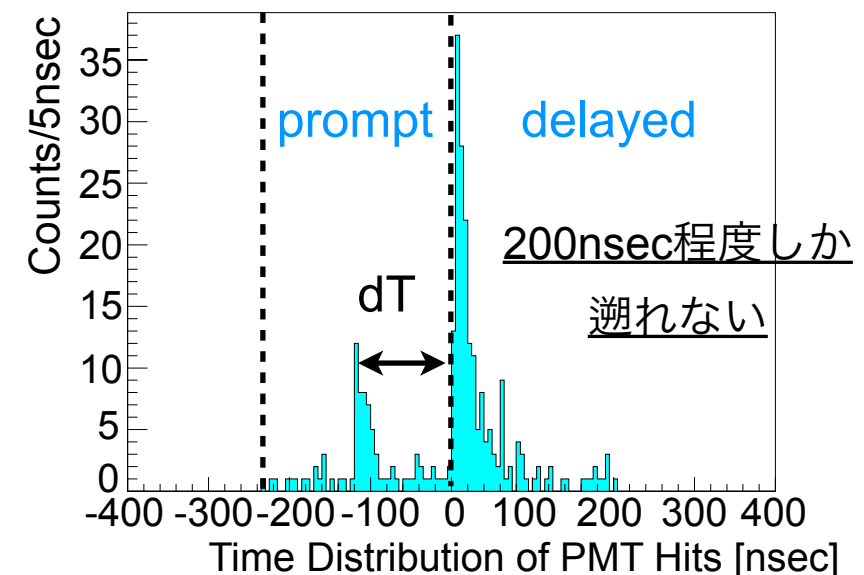
vetoによって、 ^{11}C は60%減

将来の展望 - ^{85}Kr の遅延同時観測

フラッシュADCを用いた新エレクトロニクスによって、時間間隔の短い連続したイベントを取る事が可能。



現在のPMTのヒット時間分布例



1年間観測した場合 (2010/4 - 2011/3)、
信号 = ~153 events (^{85}Kr)
BG = ~142 events (^{14}C , $^{210}\text{Bi}/^{85}\text{Kr}$)
が予想される。

→ スペクトル解析の確認、制限に使える。

まとめ

- 2009年2月に純化作業が終了した。その後、 ^{210}Bi の崩壊を確認。
- 2009年4月7日から10月15日の17.8kton \cdot daysのデータで、 ^7Be ニュートリノ解析を行っている。(Borexinoの20%増し)
- 主な系統誤差を評価
エネルギー10.6%、 ^{40}K の寄与7.5%、有効体積6.3%
- 新エレクトロニクスの導入で、 ^{85}Kr を独立に測定することが出来る。
1年間で12%程度の精度で測定可能